

توزیع شکل‌های فسفر در خاک‌های جنگلی کلاردشت

محمدجواد محبی صادق و احمد حیدری^۱

دانشجوی دکتری گروه مهندسی علوم خاک، دانشگاه تهران؛ mjmohebbi@ut.ac.ir

استاد گروه مهندسی علوم خاک، دانشگاه تهران؛ ahaidari@ut.ac.ir

دریافت: ۹۵/۳/۵ و پذیرش: ۹۵/۱۲/۲

چکیده

فسفر از عناصر اصلی مورد نیاز گیاه می‌باشد که به شکل‌های مختلف شیمیایی و بیوشیمیایی در خاک دیده می‌شود، به همین دلیل فسفر مستعد اثربداری از فرآیندها و شرایط خاکسازی می‌باشد. در این پژوهش با هدف بررسی اثر فرآیندهای خاکسازی بر توزیع شکل‌های فسفر و قابلیت فراهمی آن 8 نیم‌خرخ خاک در اراضی تحت پوشش جنگلی منطقه کلاردشت حفر و مطالعه گردید. فسفر فراهم (Pav)، فسفر کل (TP)، فسفر آلی (OP)، فسفر معدنی (MP) به‌اضافه 8 شکل مختلف فسفر معدنی در افق‌های ژنتیکی خاک اندازه‌گیری شد و همبستگی این شکل‌ها با یکدیگر و نیز پارامترهای فیزیکو‌شیمیایی در نیمرخ‌های خاک بررسی گردید. نتایج نشان داد فرآیندهای خاکسازی اثرات قابل توجهی بر توزیع شکل‌های مختلف فسفر دارند. فسفات‌های آهن (Fe-P) و آلومینیوم (Al-P) همبستگی مثبت و معنی‌داری با فسفر قبل استخراج با اگزالات آمونیوم (Pox) داشتند که ممکن است نمایانگر استخراج فسفر هم‌رسوبی شده با اکسیدهای آهن و آلومینیوم دارای تبلور ضعیف (از طریق اتحال) و یا فسفر جذب شده توسط این اکسیدها (از طریق تبادل لیگاند و آئیونی) باشد. این شکل‌های با تبلور پایین و همچنین اکتا کلسیم فسفات (Ca8-P) و فسفر محبوس (Oc-P)، همبستگی مثبت و معنی‌داری را با درصد رس نشان دادند که اتصال این ترکیبات به ذرات رس در طی واکنش‌های شیمیایی مختلف و انتقال همزمان (co-migration) این ترکیبات و ذرات رس در طی فرآیند انتقال مکانیکی ذرات رس ریز (lessivage) و شستشو و رسوب مجدد (illuviation-eluviation) را محتمل می‌سازد. فسفر معدنی لبایل (LPI) و نسبتاً لبایل (MLPI) همبستگی معنی‌داری با فسفر قابل دسترس نداشتند اما فرم آبادیت همبستگی معنی‌داری با فسفر قابل دسترس داشت که می‌تواند در اثر تخلیه فسفر توسط گیاهان، میکروارگانیسم‌ها از افق‌های سطحی خاک و علاوه بر آن انتقال عناصر به قسمت‌های پایین تر نیم‌خرخ خاک باشد که در نتیجه آن از منابع مقاومی مثل آبادیت برای تامین فسفر استفاده می‌شود. این در حالی است که بیشترین همبستگی بین فسفر قابل دسترس، فسفر آلی و کربن آلی مشاهده شد که به همین دلیل فرآیند اضافه شدن بقایای گیاهی و چرخه جذب-بازگشت فسفر توسط گیاه (littering) و هوموسی شدن و فرآیندهای جانبی آن مهم ترین فرآیند موثر بر فسفر قابل جذب (Pav) تلقی گردید.

واژه‌های کلیدی: افق ژنتیکی خاک، فسفر معدنی

^۱ نویسنده مسئول، آدرس: کرج، پردیس کشاورزی و منابع طبیعی دانشگاه تهران، دانشکده مهندسی و فناوری کشاورزی، گروه مهندسی

علوم خاک

مقدمه

کاهش خواهد یافت (جاوید و روئل¹⁰، 2002)، با این وجود برخی مطالعات نقش فرم های با تبلور بالا در تأمین فسفر قابل جذب را گزارش کرده اند (سالک¹¹ و همکاران، 2001). خصوصیات خاک همچون pH، میزان کربنات ها، درصد رس و مواد آلی خاک از مهم ترین پارامترهای مؤثر در توزیع و پایداری شکل های فسفر در نیمرخ خاک می باشند (یک و سانچز¹²، 1994؛ دلگادو و تورن¹³، 2000).

روش های مختلفی برای استخراج شکل های معدنی فسفر خاک پیشنهاد شده است که فسفر خاک را به شکل های ترکیب شده با کلسیم، آهن و آلومینیوم در درجات مختلف تبلور تقسیم می کند (چانگ و جکسون¹⁴، 1957؛ جیانگ و گو¹⁵، 1989). همچنین روش هایی برای استخراج فرم های فسفر با درجات مختلف فراهمی ارائه شده است که می توانند فرم های لبایل و نسبتاً لبایل که در تعادل با فسفر قابل دسترس هستند را تعیین نموده و درک بهتری از شرایط فسفر فراهم کنند (بومن و کول¹⁶، 1978؛ شارپلی و اسمیت¹⁷، 1985؛ ایوانف¹⁸ و همکاران، 1998). یانگ¹⁹ و همکاران (2012) در مطالعه عمقی خاک های هیستوسول و آلفی-سول با درصد اشباع بازی کم و تحت شرایط غرقاب بیشترین میزان شکل فسفر معدنی را فسفر در اتصال با آهن گزارش کردند و افزایش آن در افق های عمقی را ناشی از فرآیند انتقال رس و مواد آلی در نیمرخ خاک دانستند. دلبرمن²⁰ و همکاران (2002) در مطالعه خاک های اسیدی فرم های در اتصال با آلومینیوم و آهن را بیشترین شکل های فسفر گزارش کردند. شاهین²¹ و همکاران (2007) با مطالعه خاک های اریدی سول و انتی سول در مصر بیان کردند فسفر در اتصال با کلسیم بیشترین سهم از فسفر کل را داراست و فرآیندهای حاکسازی همچون هم-رسوبی و واکنش های جذب و واجذب مهم ترین فرآیندهای کنترل کننده توزیع فسفر هستند. کریرا²² و

خاک سیستم پیچیده ای است که تکامل و تغییرات آن تحت تأثیر عوامل مختلفی همچون اقلیم، مواد مادری، فرآیندهای بیولوژیک، زمان و شرایط هندسی آن در منظر اراضی است (لیتاور¹ و همکاران، 2004). طبق نظریه سیمونسون² (1959) چهار فرآیند خاکسازی شامل افزایش، کاهش، انتقال و تغییر و تبدیلات اجزای فیزیکی و شیمیایی خاک ارکان اصلی تغییرات سطحی و عمقی آن را تشکیل می دهند و عوامل خاکسازی شدت و ضعف این فرآیندها را تعیین می کنند. برآیند این تغییرات شرایط خاک را از نظر حاصلخیزی، مقاومت به تغییرات محیطی و نقش آن در فرآیندهای زیست محیطی مشخص می کند (توریون³ و همکاران، 2007).

فسفر از عناصر اصلی مورد نیاز گیاهان است که از دیدگاه های کشاورزی، زیست محیطی و تغییرات شرایط خاک و حفاظت پایدار آن مورد توجه محققان قرار گرفته است (میسنر⁴ و همکاران، 2008؛ لی⁵ و همکاران، 2004). برخلاف عناصری همچون نیتروژن، چرخه فسفر در طبیعت تنها بین اکوسیستم های خاکی و آبی در گردش است و این امر اهمیت بزرگی و مدیریت آن در خاک را دوچندان می کند (پوردر⁶ و همکاران، 2007). فسفر خاک دارای شکل های مختلف شیمیایی و بیوشیمیایی است که به طور موثری تحت تأثیر شرایط فیزیکوشیمیایی محیط قرار می گیرند (بیوچمین⁷ و همکاران، 2003)، در نتیجه تغییرات پیدا شیی و تکاملی خاک به طور موثری بر پراکنش و قرار گیری فسفر در فازهای مختلف تأثیر گذارند (سالومون⁸ و همکاران، 2002). عناصر کلسیم، آهن و آلومینیوم و ترکیبات حاوی این عناصر مهم ترین عواملی هستند که بسته به شرایط میزان نگهداشت، تثیت و فراهمی فسفر معدنی در خاک را تحت تأثیر قرار می دهند (یانگ⁹ و همکاران، 2000). هرچه فرآیندهای خاک شرایط مساعد تری را برای افزایش پایداری و تبلور کانی های حاوی فسفر فراهم کند میزان ترکیبات تثیت شده فسفر خاک افزایش یافته و مقادیر قابل دسترس آن

¹⁰. Javid & Rowell

¹¹. Saleque

¹². Beck & Sanchez

¹³. Delgado & Torrent

¹⁴. Chang & Jackson

¹⁵. Jiang & Gu

¹⁶. Bowman & Cole

¹⁷. Sharply & smith

¹⁸. Ivanoff

¹⁹. Yang

²⁰. Dobermann

²¹. Shaheen

²². Carreira

¹. Litaor

². Simonson

³. Turrión

⁴. Meissner

⁵. Lee

⁶. Porder

⁷. Beauchemin

⁸. Solomon

⁹. Wang

مواد و روش‌ها

این پژوهش در جنوب شهر کلاردشت واقع در استان مازندران بین⁷ ۵۱°۰۷' تا ۵۱°۱۴' طول شرقی و ۳۶°۲۹' تا ۳۶°۳۴' عرض شمالی انجام گردید. زمین-شناسی غالب منطقه شامل سنگ آهک دوره پرمین می-باشد. رژیم رطوبتی و حرارتی منطقه به ترتیب زیریک و مزیک بوده و پوشش گیاهی غالب منطقه، جنگل گونه‌های راش (*Fagus orientalis*) می‌باشد.

به منظور بررسی شرایط فسفر معدنی، بعد از بررسی نقشه‌های زمین‌شناسی و توپوگرافی، ⁸ نیمرخ خاک تا عمق ۱۰۰ سانتی‌متری حفر، تشریح و نمونه-برداری از افق‌های ژنتیکی انجام شد (NRCS, USDA, 2002). نیمرخ‌های خاک بر اساس نتایج صحرایی و آزمایشگاهی آن‌ها رده‌بندی گردیدند (soil survey staff, 2014). نمونه‌های خاک از الک ۲ میلی‌متری عبور داده شدند و اندازه‌گیری خصوصیات فیزیکی و شیمیابی نمونه‌های برداشت شده (38 نمونه) شامل کربن آلی (OC) به روش والکی و بلک⁵ (1934)، بافت خاک به روش هیدرومتری (گی و بوردر، 2002)، اسیدیته در گل اشیاع (pH) (توماس، 1996)، شوری (EC) در عصاره اشیاع خاک (اسمیت و دوران، 1996)، ظرفیت تبادل کاتیونی (CEC) به روش استات آمونیوم (روود، 1982)، درصد اشیاع بازی خاک (BS) (اکرت و مکلین، 1981) و درصد کربنات کلسیم معادل (CCE) به روش کلسیمتری (الیسون و مودی، 1965) انجام گردید.

شکل‌های مختلف فسفر خاک شامل فسفر کل خاک (TP) (سامرز و نلسون، 1997)، فسفر آلی (OP) و معدنی (MP) خاک (کو¹²، 1996)، فسفر قابل دسترس گیاه (Pav) به روش اولسن¹³ (1954)، فسفر قابل استخراج با اگزالات آمونیوم (Pox) (گو و یوست، 1999) و شکل‌های مختلف فسفر معدنی شامل فسفر (کار، 2000) و عصاره‌گیری متوالی شکل‌های معدنی فسفر شامل دی-کلسیم فسفات (Ca₂-P)، اکاکلسیم فسفات

همکاران (2006) در مطالعه خاک‌های مناطق خشک مقادیر بالای فسفات کلسیم را گزارش کرده و دلیل آن را رسوب کربنات کلسیم ثانویه و فرآیند خاکسازی کربناتی-شدن دانستند. کراس و اسکلینگر¹ (2001) بیشترین سهم فسفات‌های کلسیم را در خاک‌های مناطق نیمه‌خشک گزارش کردند و توزیع موادآلی و فرآیند هوموسی شدن در خاک را مهم‌ترین عامل مؤثر بر فسفات‌های آهن و آلومینیوم دانستند. وان² و همکاران (2008) فرآیند پذروزی شدن و اتصال فسفر به اکسیدهای آهن، آلومینیوم و ترکیبات آلی و در پی آن تجمع فسفر در افق‌های اسپودیک را فرآیند اصلی توزیع فسفر در خاک‌های اسپودوسول تلقی کردند. زاویر و همکاران (2011) در مطالعه اکوسیستم‌های کشاورزی در برزیل بیان کردند فسفر لبایل و نسبتاً لبایل رابطه معنی‌دار و مثبتی با فسفر قابل دسترس گیاه در خاک‌های سطحی دارند و تحت تأثیر خصوصیات خاک قرار می‌گیرند. گومز³ و همکاران (2016) در مطالعه خاک‌های جنگلی مناطق حاره دلیل مقادیر کم فسفر لبایل و نسبتاً لبایل را به مقادیر بالای فسفر در اتصال با آهن و آلومینیوم با درجه تبلور بالا در طی فرآیند تبادل لیگاندی به ویژه در خاک‌های اکسی‌سول نسبت دادند.

بررسی شرایط خاک‌های جنگلی به دلیل توسعه و حفاظت از جنگل در جهان برای اهداف مختلف همچون جلوگیری از فرسایش، ذخیره درازمدت کربن و جلوگیری از پیامدهای تغییرات اقلیمی و از طرف دیگر نیاز روزافزون به چوب و مشتقات آن مورد توجه است (فارلی⁴ و کلی، 2004). می‌توان گفت تا به حال مطالعات اختصاصی بر شکل‌های فسفر در خاک‌های جنگلی در ایران انجام نشده است و همچنین مطالعات بسیار اندکی بر روی تغییرات عمقی فسفر خاک در رابطه با شرایط پیدایش و خصوصیات افق‌های مختلف خاک در ایران و حتی در جهان انجام شده است. بنابراین مطالعه فسفر در نیمرخ خاک با در نظر گرفتن خصوصیات پیدایشی دیدگاه جدیدی در این بحث ارائه می‌دهد. با توجه به این مطلب هدف از این پژوهش بررسی شکل‌های مختلف فسفر معدنی در نیمرخ خاک و افق‌های حاصل از فرآیندهای خاکسازی و ارتباط آن با خصوصیات فیزیکی، شیمیابی و پدوفزیکی خاک در نیمرخ خاک‌های جنگلی بود.

⁵. Walky & black

⁶. Gee & Bauder

⁷. Thomas

⁸. Smith & Doran

⁹. Rhoades

¹⁰. Eckert & McLean

¹¹. Allison & Moodie

¹². Kuo

¹³. Olsen

¹⁴. Guo & Yost

¹. Cross & Schlesinger

². Vanaan

³. Gomez

⁴. Farley

سطحی داشت و در محدوده 5 تا 35 میلی گرم بر کیلوگرم تغییر می کرد. فسفر قابل استخراج با اگزالات آمونیوم در گستره 90-35 میلی گرم بر کیلوگرم تغییرات داشت کرده و با افزایش عمق روند افزایشی را نشان داد (جدول 2).

میزان اکتاکلسیم فسفات در گستره 68 تا 410 میلی گرم بر کیلوگرم تغییرات داشت، این محدوده برای آپاتیت بین اعداد 70 تا 293 میلی گرم بر کیلوگرم بود. دی کلسیم فسفات در نمونه های مطالعه شده بسیار ناچیز بوده و قابل قرائت نبود. میزان فسفات آهن و آلومینیوم به ترتیب در محدوده 75 تا 107 و 125 تا 147 میلی گرم بر کیلوگرم تغییرات داشت. فسفر محبوس بین اعداد 4 تا 11 میلی گرم بر کیلوگرم متغیر بود (شکل 2).

بررسی اجزای مختلف فسفر معدنی تغییرات متفاوت آنها در نیمرخ خاک را نشان داد. به طور کلی در افق های A بیشترین میزان متعلق به فسفر آپاتیت بود و بعد از آن فسفات آلومینیوم و اکتاکلسیم فسفات در مقادیر تقریباً یکسان و سپس فسفات آهن و در نهایت فسفر محبوس قرار داشت (شکل 2). در نیمرخ های دارای افق AB افزایش در مقادیر اکتا کلسیم فسفات مشاهده شد که این افزایش بیشتر از فسفات آلومینیوم بود و باعث شد اکتا کلسیم فسفات بیشترین شکل فسفر باشد و بعد از آن به رغم اینکه آپاتیت کاهش یافت، اکتا کلسیم فسفات قرار گرفت و بعد از آن فسفات آلومینیوم، فسفات آهن و فسفر محبوس قرار داشتند. روند افزایشی اکتاکلسیم فسفات در افق های Bt ادامه داشت و در این افق ها بیشترین میزان را دارا بود. آپاتیت در افق های تحتانی کاهش یافت و فسفات آهن، آلومینیوم و فسفر محبوس به افزایش خود ادامه دادند (شکل 2).

فسفات آلومینیوم (Al-P)، فسفات آهن (Fe-P)، فسفر محبوس (Oc-P) و آپاتیت (Ca₁₀-P) به روش جیانگ¹ (1989) انجام گردید. فسفر در همه عصاره های استخراج شده به روش اسپکتروفوتometri (مورفی و رایلی²، 1962) تعیین گردید. آنالیز همبستگی توسعه نرم افزار SPSS.18 و ترسیم نمودارها توسط نرم افزار Excel انجام گردید.

نتایج

کلیه خاک های مطالعه شده در رده آلفی سول ها و زیر رده Xeralfs طبقه بندی شدند (جدول 1). این نیمرخ ها دارای افق های A، AB و Bt هستند و دارای ابی- پدون اکریک در سطح خاک و افق مشخصه غنی از رس آرجیلیک در عمق های تحتانی می باشند (جدول 1، شکل 1). افق های مطالعه شده دارای pH قلیابی 7-7/45 بود و درصد اشباع بازی آنها بین 75-92 درصد بود. کمترین میزان درصد رس در افق های A نیمرخ ها و بیشترین میزان آن در افق های Bt تحتانی مشاهده شد.

کرین آلی روند کاهشی در طول نیمرخ خاک را دارا بود و میزان آن در محدوده 0/39-3/5 درصد متغیر بود که بیشترین میزان آن در افق A نیمرخ 1 و کمترین میزان آن در افق Bt نیمرخ 2 مشاهده شد. درصد کربنات کلسیم معادل حدوداً در همه افق ها در یک گستره قرار داشت و در حدود 0/4 تا 0/6 درصد بود (جدول 1).

میزان فسفر کل در برخی نیمرخ های مطالعه شده در سطح خاک و در برخی از آنها در افق های پایین تر میزان بیشتری داشت و در محدوده 623-881 میلی گرم در 865- کیلوگرم قرار داشت. فسفر معدنی خاک در گستره 572 میلی گرم در کیلوگرم تغییرات داشت و روند آن از فسفر کل تبعیت می کرد. فسفر آلی خاک بیشترین میزان را در سطح خاک دارا بود و با افزایش عمق کاهش نشان داد و تغییرات آن بین اعداد 0-120 میلی گرم در کیلوگرم قرار داشت (شکل 1).

فسفر معدنی لبایل خاک روند تقریباً ثابتی را در نیمرخ خاک داشت و در برخی موارد در افق های میانی و تحتانی افزایش داشت، کمترین میزان آن (12 میلی گرم بر کیلوگرم) در افق Bt2 نیمرخ 6 و بیشترین میزان آن (37 میلی گرم بر کیلوگرم) در افق Bt نیمرخ 1 بود. فسفر نسبتاً لبایل در محدوده 210 تا 360 میلی گرم بر کیلوگرم تغییرات داشت و در اکثر موارد با افزایش عمق، افزایش نشان داد. فسفر قابل دسترس بیشترین میزان را در افق های

¹. Jiang & Guo

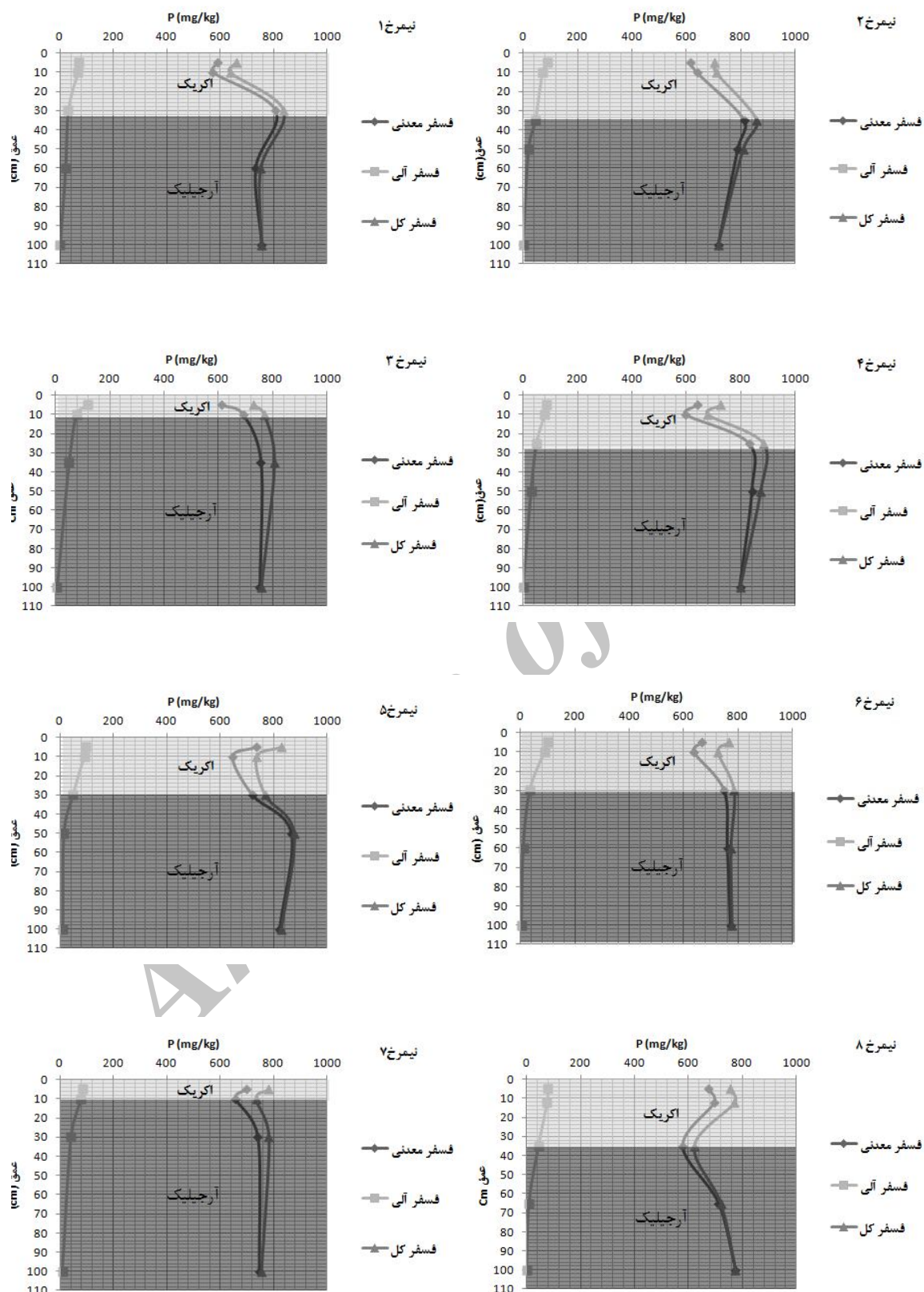
². Murphy & Riley

جدول 1- برخی خصوصیات فیزیکی و شیمیایی نیمرخ‌های مطالعه شده

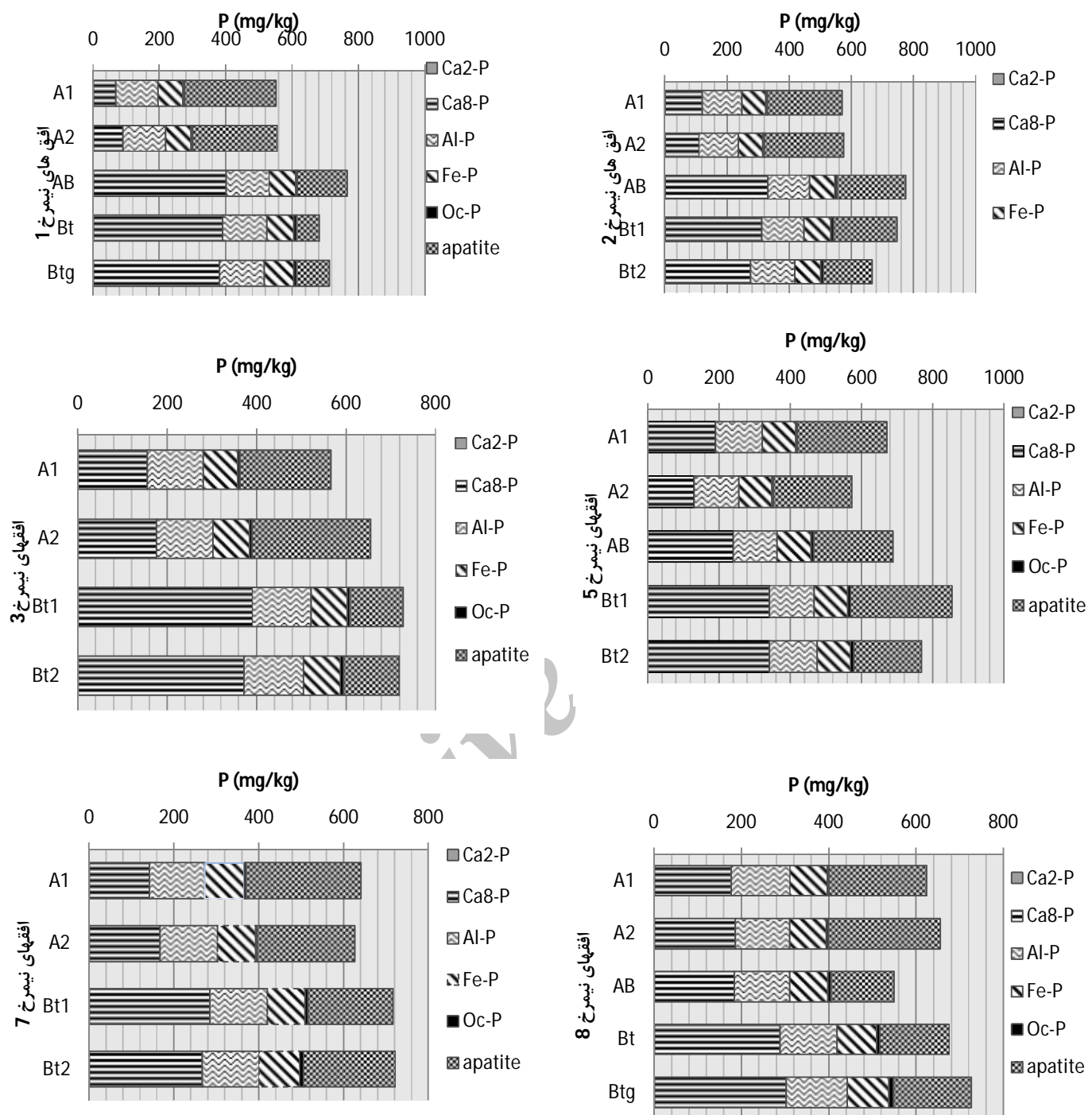
افق	pH	CCE%	BS%	OC%	CEC (Cmol+/kg)	رس %	سیلت%	شن %
Very fine, mixed, mesic, Typic Haplixeralfs: رده بندی نیمرخ‌ها								
1 نیمرخ	A1	7/8	0/5	81/5	3/5	34	55	33
	A2	7/79	0/6	85/6	3	32/5	58	31
	AB	7/87	0/5	76/27	2/1	30	60	27
	Bt	7/9	0/4	94	0/6	30/5	71	23
	Btg	7/8	0/5	84/5	0/48	32	73	7
	A1	7/77	0/45	87/9	3/2	32	56	25
2 نیمرخ	A2	7/89	0/5	94	2/8	30	55	26
	AB	7/9	0/65	84/3	1/2	33	59	25
	Bt1	7/78	0/5	80	0/68	34	67	20
	Bt2	7/8	0/5	90/15	0/39	32	72	22
	A1	7/8	0/5	94	3/2	31	55	33
	A2	7/78	0/5	85/5	3	32	58	31
3 نیمرخ	Bt1	7/94	0/45	96	1/8	30	68	27
	Bt2	7/91	0/5	81/72	0/75	33	71	23
	A1	7/69	0/6	88/7	3/2	32	57	34
	A2	7/8	0/5	87/42	2/8	33	55	34
	AB	7/87	0/6	83/9	1/56	31	59	29
	Bt	7/7	0/5	80/59	0/77	32	69	22
4 نیمرخ	Btg	7/88	0/6	83/44	0/46	35	74	20
	A1	7/55	0/5	88/21	2/58	32	54	26
	A2	7/54	0/5	86/96	2/3	31	55	29
	AB	7/6	0/5	92/58	0/9	29	58	30
	Bt1	7/8	0/5	81	0/7	33	67	22
	Bt2	7/88	0/5	91	0/4	32	70	20
5 نیمرخ	A1	7/5	0/5	77	2/9	34	53	24
	A2	7/57	0/45	82/8	2/2	31	54	26
	AB	7/74	0/5	87	1	32	58	26
	Bt1	7/76	0/4	86	0/7	33	71	21
	Bt2	7/78	0/5	86/62	0/5	32	70	22
	A1	7/45	0/6	79/57	3	33	58	27
6 نیمرخ	A2	7/5	0/45	78	2/8	32	58	31
	Bt1	7/8	0/6	91/83	0/8	31	72	22
	Bt2	7/8	0/5	92	0/6	30	74	20
	A1	7/5	0/4	82/48	3/1	31	55	25
	A2	7/55	0/5	82/61	2/5	31	57	24
	AB	7/65	0/6	84/17	1	34	60	25
7 نیمرخ	Bt	7/77	0/5	85/87	0/6	32	70	23
	Btg	7/82	0/5	90	0/45	30	72	20
8 نیمرخ								

جدول 2 - مقادیر شکل های مختلف فسفر با درجات مختلف فراهمی (میلی گرم بر کیلوگرم)

افق	فسفر قابل دسترس (Pav)	فسفر لبایل معدنی (LPI)	فسفر نسبتاً لبایل معدنی (MLPI)	فسفر اگزالت (Pox)
نیمرخ 1	A1	20	22	50
	A2	18	19	45
	AB	12	25	60
	Bt	9	37	71
	Btg	5	33	65
	A1	25	23	42
	A2	30	21	40
	AB	15	22	52
نیمرخ 2	Bt1	8	20	60
	Bt2	6	19	67
	A1	26	25	56
	A2	26	21	50
	Bt1	15	33	75
	Bt2	10	22	80
	A1	35	25	44
	A2	27	23	35
نیمرخ 3	AB	23	30	50
	Bt	16	32	66
	Btg	10	32	74
	A1	29	20	52
	A2	30	20	42
	AB	20	26	50
	Bt1	14	28	60
	Bt2	8	26	71
نیمرخ 4	A1	33	28	60
	A2	28	27	62
	AB	15	25	60
	Bt1	10	22	80
	Bt2	12	12	80
	A1	30	22	59
	A2	32	27	67
	Bt1	24	26	80
نیمرخ 5	Bt2	17	19	90
	A1	32	20	63
	A2	28	25	55
	AB	16	21	84
	Bt	10	33	80
	Btg	8	25	78



شکل ۱- توزیع مقادیر فسفر کل، معدنی و آلی در نیمرخ‌های خاک



شکل 2- توزیع شکل های مختلف فسفر معدنی در برخی نیمرخ های خاک (طول کل نمودار نشان دهنده مجموع اجزای معدنی در هر افق)

جدول 3- همبستگی اجزای فسفر و خصوصیات فیزیکی و شیمیایی خاک

S	Si	Cl	BS	CCE	OC	PH	MLPi	LPi	TP	MP	OP	apatite	Oc-P	Fe-P	Al-P	Ca8-P	Pox	Pav	1	Pav	
																		1	-0/56**	Pox	
																		1	0/56**	-0/75**	
																			Ca8-P		
																			-0/55**	Al-P	
																				Fe-P	
																				Oc-P	
																				apatite	
																				OP	
																				MP	
																				TP	
																				LPi	
																				MLPi	
																				PH	
																				OC	
																				CEC	
																				CCE	
																				BS	
																				Cl	
																				Si	
1	ns	-0/7*	ns	ns	0/7**	ns	0/52**	0/52**	0/41*	ns	ns	0/6**	-0/93**	-0/6**	0/78**	0/55**	0/67**	0/76**	0/75**	-0/81**	
1	ns	-0/8*	ns	ns	0/6**	-0/59**	-0/54**	ns	ns	-0/4*	-0/62**	0/71**	0/4*	-0/67**	-0/54**	ns	-0/6**	-0/68**	0/62**	S	

، ** به ترتیب، غیرمعنی دار و معنی داری در سطح .05 و .01

Pav: فسفر قابل دسترس، Pox: فسفر اگرالات آمونیوم، Ca8-P: اکتاکلسیم فسفات، Al-P: فسفات آلومینیوم، Fe-P: فسفات آهن، Oc-P: آپاتیت، OP: فسفر آلی، MP: فسفر معدنی، TP: فسفر کل، LPi: فسفر لبایل، MLPi: فسفر معدنی نسبتاً لبایل، CCE: کربن آلی، OC: کربنات کلسیم معادل، CEC: ظرفیت تبدیل کاتیونی، BS: درصد اشباع بازی، Cl: درصد رس، Si: درصد سیلت، S: درصد شن

بحث

سمت افق آرجیلیک از فرآیندهای اصلی توزیع این ترکیبات در نیمرخ خاک های مطالعه شده است. میرابلا و کارسینلی⁵ (1993) بیان کردند ترکیبات آهن و آلومینیوم می توانند در اتصال با ذرات رس قرار گرفته و در طی فرآیند مهاجرت همزمان (Co-migration) در خاک انتقال یابند. همچنین مورگان⁶ (1997) بیان کرد فسفر می تواند در طی فرآیند تبادل آنیونی و لیگاندی بر روی لبه های شکسته (broken edges) رس های سیلیکاتی قرار گرفته و بدین ترتیب از توزیع این ترکیبات تبعیت کند. همبستگی اکتا کلسیم فسفات با رس ($P<0/01$, $r=0/76$) می تواند به دلیل توزیع آن از مواد مادری به سمت بالای نیمرخ خاک باشد اما این فرم از کانی های ثانویه فسفر تلقی می شود که یا از هوادیدگی آپاتیت و یا از تبلور کانی های با تبلور کمتر حاصل می گردد (اکسمن و شواندنمن⁷, 2015). این امر اثربداری توزیع آن از فرآیندهای خاکسازی در نیمرخ خاک را محتمل می کند. برخی از تحقیقات نشان می دهند کلسیم و ترکیبات آن می توانند به عنوان پلی بین فسفر، ذرات رس و اکسیدهای آهن و آلومینیوم قرار گرفته و انتقالی شبیه به رس و اکسیدهای آهن و آلومینیوم داشته باشند (استیونسون⁸, 1986؛ شاهین⁹ و همکاران, 2007).

با افزایش کربن آلی خاک فسفر آلی نیز افزایش می یابد ($P<0/01$, $r=0/91$) این نتیجه مطابق با نتایج چپونی¹⁰ و همکاران (2001) و جی بورک¹¹ و همکاران (2000) است، هرچند که افزایش در کربن آلی خاک الزاماً و در همه مواد باعث افزایش در میزان فسفر آلی نخواهد شد (ماکاروف¹² و همکاران, 1997). همچنین رابطه منفی و معنی دار بین رس و کربن آلی ($P<0/01$, $r=0/81$) نشان دهنده عدم تبعیت توزیع ماده آلی از فرآیندهای خاکسازی منجر به شستشوی رس و اثربداری معنی دار آن از فرآیند اضافه شدن بقاوی گیاهی به سطح خاک (Littering) می باشد. با این وجود ارتباط کربن آلی موجود در عمق های تحتانی با ذرات رس محتمل است. محققان مختلفی اظهار داشته اند که اجزای آلی خاک می توانند به صورت های مختلف همچون تشکیل کمبلکس رس - ماده آلی، با

فسفر قابل استخراج با اگرالات آمونیوم (Pox) همبستگی مثبت و معنی داری با فسفات آهن ($P<0/01$, $r=0/53$)، فسفات آلومینیوم ($P<0/01$, $r=0/55$)، اکتا کلسیم فسفات ($P<0/01$, $r=0/56$) و فسفر محبوس در کانی های خاک ($P<0/01$, $r=0/57$) داراست و از طرف دیگر همبستگی مثبت و معنی داری را با درصد رس خاک نشان می دهد (جدول 3). فسفر قابل استخراج با اگرالات آمونیوم (Pox) بیانگر فسفر در اتصال با فرم های بی شکل و کمتر تبلور یافته می باشد (شاهین¹ و همکاران, 2007). با توجه به pH بالای خاک به نظر می رسد شرایط برای تبلور اکسیدهای آهن و آلومینیوم در ترکیب با فسفر فراهم نباشد زیرا شکل های با درجه تبلور زیاد فسفات آهن و آلومینیوم مانند استرنجایت و وریسايت در خاک های با pH کمتر از 6 یافت می شوند (بلکویل² و همکاران, 2009). بنابراین می توان گفت در نیمرخ های مطالعه شده بخش زیادی از فسفر موجود در فسفات های آهن و آلومینیوم به وسیله اگرالات قابل استخراج است.

این امر جذب فسفر به وسیله ساختارهای با تبلور کم در اثر فرآیندهایی همچون هم رسوی (Co-anion and precipitation) و تبادل آنیونی و لیگاندی (precipitation and exchange) را محتمل می کند (کورنل و شوئرتمن³, 2003). میزان پایین شکل های محبوس (-Oc-) در اکسی هیدروکسیدهای آهن و آلومینیوم در خاک های مطالعه شده که دارای فسفر در ساختار خود هستند نیز موید این مطلب می باشد (شکل 2). همچنین فسفر قابل استخراج با اگرالات رابطه منفی و معنی داری ($P<0/01$) را با کربن آلی دارا بود (جدول 3). فرم های بی شکل کانی های خاک در حضور ماده آلی افزایش می یابند اما از طرف دیگر اشغال سایت های جذبی این مواد توسط اجزای مختلف مواد آلی می تواند منجر به کاهش جذب عناصر و به طور اخص فسفر توسط این ساختارها شود (کورنل و شوئرتمن, 2003؛ جانسون و لوپرت, 2006). با توجه به همبستگی موجود بین رس و شکل های آلومینیوم و آهن و فرم قابل استخراج با اگرالات (جدول 3)، به طور کلی می توان گفت اتصال فسفات های آلومینیوم و آهن با ذرات رس و انتقال (Lessivage)، شستشو و رسوب مجدد آنها (Illuviation-Eluviation) در نیمرخ خاک به

⁵. Mirabella & Carcinelli

⁶. Morgan

⁷. Oxmann & Schwendenmann

⁸. Stevenson

⁹. Shaheen

¹⁰. Chepkwony

¹¹. Gburek & Sharpley

¹². Makarov

¹. Shaheen

². Blackwell

³. Cornell & Shwertmann

⁴. Johnson & Loepert

آخر¹⁰ و همکاران، 2005). به نظر می‌رسد با توجه به اثر بالای فسفر آلی بر فسفر قابل دسترس، فسفر آلی در فرم‌های با درجات فراهمی مختلف اثرگذاری بیشتری بر شکل‌های قابل جذب در این خاک‌ها را دارا هستند، این اثرات توسط محققان مختلفی گزارش شده است (لینکویست¹¹ و همکاران، 1997؛ ردل¹² و همکاران، 2007).

رونده کاهشی فسفر قابل دسترس و آپاتیت با افزایش عمق منجر به همبستگی این دو شکل فسفر شده است. به نظر می‌رسد تخلیه شکل‌های دیگر فسفر خاک در افق‌های سطحی باعث افزایش آپاتیت می‌شود، همچنین آپاتیت همبستگی مثبت و معنی‌داری را با درصد شن ($P < 0/05$) و سیلت ($P < 0/01$) دارد. آپاتیت در هر دو صورت پدوژنیک و لیتوژنیک در ابعاد حدودی شن و سیلت ظاهر می‌شود (اکسمن و شواندنمن¹³، 2015) و شیستشوی رس به اعمق زیرین و تغییل آن در این اعماق می‌تواند روند کاهشی آپاتیت را توجیه کند. با این وجود گیاهان و میکروگانیسم‌ها قابلیت استفاده از شکل‌های مقاوم فسفر را نیز دارا هستند. آلوارز¹⁴ و همکاران (2007) همبستگی فسفر قابل دسترس و شکل‌های مقاوم به هوادیدگی همچون آپاتیت را گزارش کرده و دلیل آن را تخلیه شکل‌های دیگر فسفر از خاک توسط موجودات زنده (Removal) دانستند. ردی¹⁵ و همکاران (2000) با مطالعه اراضی شالیزار دریافتند زمانی که منابع تغذیه‌ای فسفر منحصر به فسفر بومی خاک است گیاه می‌تواند از شکل‌های مختلف فسفر از جمله اجرای مقاوم‌تر برای تامین فسفر استفاده کند.

نتیجه گیری

نتایج این تحقیق نشان داد شکل‌های مختلف فسفر خاک به شدت تحت تأثیر فرآیندهای خاکسازی در نیمرخ خاک قرار می‌گیرند. براساس نتایج این پژوهش از مهم‌ترین فرآیندهای مؤثر در توزیع و فراهمی فسفر در خاک‌های آلفی‌سول تحت پوشش جنگل می‌توان به انتقال مکانیکی ذرات ریز خاک (Lessavage) و انحلال، شیستشو و رسوب مجدد ترکیبات فسفره (Eluviation-Illuviation) به عمق‌های زیرین اشاره کرد. این فرآیند به شدت توزیع فسفات‌های آلومینیوم و آهن را تحت تأثیر

ذرات رس ارتباط برقرار کرده و تحت تأثیر تغییرات مکانی رس قرار گیرند (ماهیو¹ و همکاران، 2002). فسفر قابل دسترس همبستگی معنی‌دار و مثبتی را با فسفر آلی ($r = 0/94$) و کربن آلی ($P < 0/01$) دارد این نتیجه هم‌است با نتایج کولاول و تیان² (2007) و اویارزون³ و همکاران (2007) (2007) می‌باشد. مولن⁴ (2005) بیان کرد فسفر آلی خاک خاک در طی فرآیند هوموسی شدن (Humification) در درجات مختلف تجزیه‌ایی قرار گرفته و حتی در مقادیر کم اثر زیادی بر فرم قابل دسترس فسفر در خاک دارد. از طرف دیگر pH خاک رابطه منفی و معنی‌داری با فسفر قابل دسترس دارد. صمدی⁵ (2006) بیان کرد افزایش pH pH خاک در خاک‌های قلایای منجر به کاهش قابلیت فراهمی فسفر می‌شود. همچنین رابطه منفی و معنی‌دار pH و کربن آلی ($r = -0/4$) و فرآیند هوموسی شدن بر غیر مستقیم ماده آلی و فرآیند هوموسی شدن بر حلالیت فسفر خاک در پی آزادسازی دی‌اکسید کربن، پروتون و اسیدهای آلی در محلول خاک باشد (چن⁶ و همکاران، 2002).

فسفر لبایل ($r = 0/55$) و نسبتاً لبایل معدنی ($P < 0/01$) ($r = 0/49$) تنها با اکتاکلسیم فسفات رابطه مثبت و معنی‌داری داشت و این شکل‌ها رابطه معنی‌دار و یا مثبتی را با فسفر قابل دسترس نداشتند (جدول 3). این نتیجه برخلاف یافته‌های ابرسون⁷ و همکاران (2001) در خاک‌های اکسی‌سول و کاساز⁸ و همکاران (2000) در خاک‌های اینسپیتی‌سول و اسپودوسول می‌باشد که رابطه مثبت فسفر لبایل را با فسفر قابل دسترس نشان دادند هر چند که برخی یافته‌های این محققان در شرایطی است که فسفر غیربومی به خاک اضافه می‌شود. این امر را می‌توان به تخلیه فسفر در عمق‌های سطحی توسط گیاه و همچنین انتقال و توزیع اکتاکلسیم فسفات در ارتباط دانست. هرچند که محققان مختلفی بر این عقیده بوده‌اند که فسفر لبایل و نسبتاً لبایل با منابع مختلف فسفر در ارتباط هستند که هرکدام از آنها مقادیر اندک تا زیادی را به این شکل-های فسفر وارد می‌کنند (ساودرا و دلگادو⁹، 2005). اختر

¹. Mahieu

². Kolawole & Tian

³. Oyarzun,

⁴. Mullen

⁵. Samadi

⁶. Chen

⁷. Oberson

⁸. Cassagne

⁹. Saavedra & Delgado

¹⁰. akhtar

¹¹. Linquist

¹². Redel

¹³. Oxmann & Schwendenmann,

¹⁴. Alvarez

¹⁵. Reddy

های مقاوم فسفر را محتمل می کند. در این میان ترکیبات آلی برعغم میزان کمتر نسبت به فسفر معدنی به طور معنی داری بر فسفر قابل دسترس تأثیرگذار بودند، که نشان دهنده اثر کلیدی منابع آلی بر فراهمی فسفر در این خاک ها می باشد. این نتایج می تواند مورد توجه محققانی که بر روی توزیع فسفر خاک به صورت سطحی و عمقی کار می کنند قرار گیرد و یادآور شود که بررسی عمق های مختلف خاک بدون توجه به شرایط پیدایشی نتایج مطلوب و قابل اتقانی را در پی نخواهد داشت.

قرار می دهد، علاوه بر این می توان به فرآیندهای اضافه شدن بقاوی آلی به خاک (Littering) و هوموسی شدن (Humification) که در میزان فراهمی و توزیع فسفر آلی مؤثر است، خارج شدن فسفر توسط ریشه گیاهان و میکروارگانیسم ها (Removal) اشاره نمود. همچنین نتایج نشان داد شکل قابل دسترس فسفر برای گیاه به شدت تحت تأثیر فرآیندهای خاکسازی است. در بین شکل های معدنی تنها آپاتیت با فسفر قابل دسترس همبستگی داشت که این امر استفاده گیاهان و موجودات خاکزی از شکل -

فهرست منابع:

1. Akhtar, M., D.L. McCallister, D.D. Francis and J.S. Schepers. 2005. Manure source effect on soil phosphorus fractions and their distribution. *Soil Sci.* 170: 183–190.
2. Allison, L.E., and C.D. Moodie. 1965. Carbonates. PP. 1379-1396. In: Black C A (Eds). *Method of Soil Analaysis. Part 3. Chemical Methods.* ASA: Madison, WI.
3. Alvarez-Rogel, J., F.J. Jimenez-Carceles., and C. Egea-Nicolas. 2007. Phosphorus retention in a coastal salt marsh in SE Spain. *Sci. Total Environ.* 378: 71–74.
4. Beauchemin, S., D. Hesterberg, J. Chou., M. Beauchemin, R.R. Simard, and D.E. Sayers. 2003. Speciation of phosphorus in phosphorus-enriched agricultural soils using X-ray absorption near-edge structure spectroscopy and chemical fractionation. *J. Environ. Qual.* 32: 1809–1819.
5. Beck, M.A., and P.A. Sanchez. 1994. Soil phosphorus fraction dynamics during 18 years of cultivation on a Typic Paleudult. *Soil Sci. Soc. Am. J.* 58: 1424–1431.
6. Blackwell, M.S.A., P.C. Brookes, N. de la Fuente-Martinez, P.J. Murray, K.E. Snars, J.K. Williams, and P.M. Haygarth. 2009. Effects of soil drying and rate of re-wetting on concentrations and forms of phosphorus in leachate. *Biol. Fertil. Soils.* 45: 635–643.
7. Bowman, R.A., and C.V. Cole. 1978. An exploratory method for fractionation of organic phosphorus from grassland soils. *Soil Sci.* 125: 95-101.
8. Carreira, J.A., B. Vinegla and K. Lajtha. 2006. Secondary CaCO₃ and precipitation of PCa compounds control the retention of soil P in and ecosystems. *J. Arid Environ.* 64: 460-473.
9. Cassagne, N., M. Remaury, T. Gauquelin and A. Fabre. 2000. Forms and profile distribution of soil phosphorus in alpine Inceptisoils and Spodosols (Pyrenees). *Geoderma.* 95: 161–172.
10. Chang, S.C., and M.L. Jackson. 1957. Fractionation of soil phosphorus. *Soil Sci.* 84: 133-144.
11. Chen, C.R., L.M. Condron, M.R. Davis, and R.R. Sherlock. 2002. Phosphorus dynamics in the rhizosphere of perennial ryegrass (*Lolium perenne L.*) and radiate pine (*Pinus radiata D. Don.*). *Soil Biol. Biochem.* 34: 487–499.
12. Chepkwony, C.K., R.J. Haynes, R.S. Swift, and R. Harrison. 2001. Mineralization of soil organic P induced by drying and rewetting as a source of plant-available P in limed and unlimed samples of an acid soil. *Plant Soil.* 234: 83–90.
13. Cornell, R.M., and U. Shwertmann. 2003. The iron oxides: Structure, properties, reactions, occurrence and uses.2nd ed. VCH, Weinheim, Germany.
14. Cross, A.F., and W.H. Schlesinger. 2001. Biological and geochemical controls on phosphorus fractions in semiarid soils. *Biogeochem.* 52: 155-172.
15. Delgado, A., and Torrent, J. 2000. Phosphorus forms and desorption patterns in heavily fertilized calcareous and limed acid soils. *Soil Sci. Soc. Am. J.* 64: 2031–2037.

16. Dobermann, A., T. George, and N. Thevs. 2002. Phosphorus fertilizer effects on soil phosphorus pools in acid upland soils. *Soil Sci. Soc. Am. J.* 66: 652–660.
17. Eckert D.J., and E.O. McLean. 1981. Basic cation saturation ratios as a basis for fertilizing and liming agronomic crops: I. Growth chamber studies. *Agron. J.* 73: 795–799
18. Gburek, W.J., A.N. Sharpley, L. Heathwaite, and G.J. Folmar. 2000. Phosphorus management at the watershed scale: a modification of the phosphorus index. *J. Environ. Qual.* 29: 130–144.
19. Gee, G.W., and J.W. Bauder. 2002. Particle size analysis. PP. 201-214. In: H D Jacob and G Clarke Topp. (Eds). *Methods of Soil Analysis*. Part 4. Physical Methods. SSSA. Madison, WI.
20. Gomes Costa, M., A. Gama-Rodrigues, J. Moraes, E. Gama-Rodrigues, M.S. and da silva Aleixo. 2016. Labile and non-labile fractions of phosphorus and its transformations in soil under eucalyptus plantations, Brazil. *Forests*. 6: 1-15.
21. Guo, F., and R.S. Yost. 1999. Quantifying the available soil phosphorus pool with acid ammonium oxalate method. *Soil Sci. Soc. Am. J.* 63: 651–656.
22. Farley, K.A., and E.F. Kelly. 2004. Effects of afforestation of paramo grassland on soil nutrient status. *For. Ecol. Manage.* 195: 281–290.
23. Ivanoff, D.B., K.R. Reddy and S. Robinson. 1998. Chemical fractionation of organic phosphorus in selected histosols. *Soil Sci.* 163: 36-45.
24. Javid, S., and D.L. Rowell. 2002. A laboratory study of the effect of time and temperature on the decline in Olsen P following phosphate addition to calcareous soils. *So. Use. Mana.* 18: 127–134.
25. Jiang, B. and Y. Gu. 1989. A suggested fractionation scheme of inorganic phosphorus in calcareous soils. *Fertil Res.* 20: 159-165.
26. Johnson, S.E., and R.H. Loepert. 2006. Role of organic acids in phosphate mobilization from iron oxides. *Soil Sci. Soc. Am. J.* 70: 222–228.
27. Kolawole, G.O., and G. Tian. 2007. Phosphorus fractionation and crop performance on an alfisols amended with phosphorus rock combined with and without plant residues. *Afr. J. Biotech.* 16: 1972-1978.
28. Ku,S. 1996. Total organic phosphorus. PP: 869-919. In: D. L. Sparks. (Ed.), *Methods of Soil Analysis*. Part 3.
29. Lee, C.H., C.Y. Park, K.D. Park, W.T. Jeon, and P.J. Kim. 2004. Long-term effects of fertilization on the forms and availability of soil phosphorus in rice paddy. *Chemosphere*. 56: 299–304.
30. Linquist, B.A., P.W. Singleton, and K.G. Cassman. 1997. Inorganic and organic phosphorus dynamics during a build-up and decline of available phosphorus in an Ultisols. *Soil Sci.* 162: 254–264.
31. Litaor, M.L., O. Reichmann, K. Auerswald, A. Haim, and M. Shenker. 2004. The geochemistry of phosphorus in peat soils of a semiarid altered wetland. *Soil Sci. Soc. Am. J.* 68: 2078–2085.
32. Mahieu, N., D.C. Olk, E.W. Randall. 2002. Multinuclear magnetic resonance analysis of two humic acid fractions from lowland rice soils. *J. Environ. Qual.* 31: 421–430.
33. Makarov, M.I., T.I. Malysheva, L. Haumaier, H.G. Alt and W. Zech. 1997. The forms of phosphorus in humic and fulvic acids of a toposequence of alpine soils in the northern Caucasus. *Geoderma*. 80: 61–73.
34. Meissner, R., P. Leinweber, H. Rupp, M. Shenker, M.I. Litaor, S. Robinson, A. Schlichting, and J. Koehn. 2008. Mitigation of diffuse phosphorus pollution during rewetting of fen peat soils: a Trans-European case study. *Water, Air, and Soil Pollution*. 188: 111–126.

35. Mirabella, A., and S. Carcinelli. 1993. Iron oxide mineralogy in red and brown soils developed on calcareous rock in central Italy. *Geoderma*. 55: 95-109.
36. Morgan, M.A. 1997. The behavior of soil and fertilizer phosphorus. In: Tunney, H., Carton, O.T., Brookes, P.C., Johnston, A.E. (Eds.), *Phosphorus loss from soil to water*. Cab International, Wallingford, Oxon OX108DE, UK, pp. 137–150.
37. Mullen, M.D. 2005. Phosphorus in soils - biological interactions. pp. 210–216. In: Hillel, D. (Ed.), *Encyclopedia of Soils in the Environment*. Academic Press.
38. Murphy, I.C.R., and J.P. Riley. 1962. A modified single solution method for the determination of phosphate in natural waters. *Anal. Chim. Acta*. 27: 131-143.
39. NRCS, USDA. 2002. Field book for describing and sampling soils, version 2.0, Lincoln.
40. Oberson, A., D.K. Friesen, I.M. Rao, S. Buhler, and E. Frossard. 2001. Phosphorus transformations in an Oxisols under contrasting land-use systems: the role of the soil microbial biomass. *Plant Soil*. 237: 197–210.
41. Olsen, S.R., C.V. Cole, F.S. Watanabe, and L.A. Dean. 1954. Estimation of available phosphorus in soils by extraction with sodium bicarbonate. *USDA Circ. 939*. US Gov. Print. Office, Washington, DC.
42. Oxmann, J.F and L. Schwendenmann, 2015. Authigenic apatite and octacalcium phosphate formation due to adsorption–precipitation switching across estuarine salinity gradients. *Biogeosciences*. 12: 723-738.
43. Oyarzun, C., C. Aracena, P. Rutherford, R. Godoy, and A. Deschrijver. 2007. Effects of land use conversion from native forests to exotic plantations on nitrogen and phosphorus retention in catchments of southern Chile. *Water., Air .Soil Pollut.* 179: 341–350.
44. Porder, S., P.M. Vitousek, O.A. Chadwick, C.P. Chamberlain, and G.E. Hillel. 2007. Uplift, erosion, and phosphorus limitation in terrestrial ecosystems, *Ecosystems*. 10: 158–170.
45. Reddy, D.D., A.S. Rao, and T.R. Rupa. 2000. Effects of continuous use of cattle manure and fertilizer phosphorus on crop yields and soil organic in a Vertisol. *Bioresource Technol.* 75: 113-118.
46. Redel, Y.D., R. Rubio, J.L. Rouanet, and F. Borie. 2007. Phosphorus bioavailability affected by tillage and crop rotation on a Chilean volcanic derived Ultisol. *Geoderma*. 139: 388–396.
47. Rhoades, J.D. 1982. Cation exchange capacity. In: A.L. Page (ed.) *Methods of soil analysis. Part 2: Chemical and microbiological properties*. Agronomy. 9: 149-157.
48. Saavedra, C., and A. Delgado. 2005. Phosphorus fractions and release patterns in typical Mediterranean soils. *Soil Sci. Soc. Am. J.* 69: 607–615.
49. Saleque, M.A., M.J. Adedin, Z.U. Ahmed, M.A. Hasan and M. Panaullah. 2001. Influences of phosphorus deficiency on the uptake of nitrogen, potassium, calcium, magnesium, sulfur, and zinc in lowland rice varieties. *J. Plant Nutr.* 24: 1621-1632.
50. Samadi, A. 2006. Contribution of inorganic phosphorus fractions to plant nutrition in alkaline-calcareous soils. *J. Agri. Sci. Technol.* 8: 77–89.
51. Shaheen, M., C.D. Tsadilas, and S. Stamatiadis. 2007. Inorganic phosphorus forms in some entisols and aridisols of Egypt. *Geoderma*. 142: 217-225.
52. Sharpley, A.N., and S.J. Smith. 1985. Fractionation of inorganic and organic phosphorus in virgin and cultivated soils. *Soil Sci. Soc. Am. J.* 49: 127-130.
53. Simonson, R.W. 1959. Modern concepts of soil genesis. Outline of a generalized theory of soil genesis. *Soil Sci. Soc. Am. J.* 152–156.
54. Smith, J.L. and J.W. Doran. 1996. Measurement and use of pH and electrical conductivity for soil quality analysis. P. 169-185. In J.W. Doran and A.J. Jones (ed.) *Methods for assessing soil quality*. Soil Science Society of America Spec. Publ. 49. SSSA, Madison, WI.

55. Soil Survey Staff. 2014. Keys to Soil Taxonomy. 12th ed. USDA. SCS. Agric. U.S. Gov.Print office. Washington. D.C.
56. Solomon, D., J. Lehmann, T. Mamo, F. Fritzsche, W. Zech. 2002. Phosphorus forms and dynamics as influenced by land use changes in the sub-humid Ethiopian highlands. *Geoderma*. 105: 21– 4.
57. Sommers, L.E., and D.W. Nelson. 1997. Determination of total phosphorus in soils: A rapid perchloric acid digestion procedure. *Soil Sci. Soc. Amer. Proc.* 36: 902 – 904.
58. Stevenson, F.J. 1986. Cycles of soils. John Wiley and Sons, New York.
59. Thomas, G.W. 1996. Soil pH and soil acidity. PP. 475-49. *In: Sparks D L. (Ed). Methods of Soil Analysis, Part 3, Chemical Methods.* Soil Science Society of America and American Society of Agronomy, Madison, Wisconsin, USA.
60. Turrión, M.B., O. López, F. Lafuente, R. Mulas, C. Ruipérez, and A. Puyo. 2007. Soil phosphorus forms as quality indicators of soils under different vegetation covers. *Sci Total Environ.* 378: 195–198.
61. Vanaan, R., J. Hristov, N. Tanskanen, H. Haartikainen, M. Neiminen, and H. Ilvesneimi. 2008. Phosphorus sorption properties in podzolic forest soils and soil solution phosphorus concentration in undisturbed and disturbed soil profile. *Boreal Env. Re.* 13: 553-567.
62. Wang, X., J.M. Jackman, R.S. Yost, and B.A. Linquist. 2000. Predicting soil phosphorus buffer coefficients using potential sorption site density and soil aggregation. *Soil Sci. Soc. Am. J.* 64: 240–246.
63. Walkley, A., and I.A. Black. 1934. An examination of Degtjareff method for determining soil organic matter and a proposed modification of the chromic acid titration method. *Soil Sci.* 37: 29-37.
64. Xavier, F.A.S., E.F. Almeida, I.M. Cardoso, and E.S. Mendonca. 2011. Soil phosphorus distribution in sequentially extracted fractions in tropical coffee-agro ecosystems in the Atlantic Forest biome, Southeastern Brazil. *Nutr. Cycl. Agroecosyst.* 89: 31–44.
65. Yang, W., H. Cheng, F. Hao, W. Ouyang, S. Liu, and C. Lin. 2012. The influence of land-use change on the forms of phosphorus in soil profiles from the Sanjiang Plain of China. *Geoderma*. 190: 207-214.
66. Zhang, H. and J.L. Kovar. 2000. Phosphorus fractionation. In *Methods of Phosphorus Analysis for Soil, Sediments, Residues and Waters*; Pierzynski, G.E. (ed.); Southern Cooperative Series Bulletin No. 396, NCSU: Raleigh,

Distribution of Phosphorus forms in the Kelardasht Forest Soils

M. J. Mohebbi and A. Heidari¹

Ph.D. Student, Soil Science Department, University of Tehran; E-mail: mimohebbi@ut.ac.ir

Professor, Soil Science Department, University of Tehran; E-mail: ahaidari@ut.ac.ir

Received: May, 2016 & Accepted: February, 2017

Abstract

Phosphorus is an essential element for plant that appears in different chemical and biochemical forms in soil, therefore, it is susceptible to effects by pedogenic processes. In order to investigate effect of pedogenic processes on P forms and their distribution, 8 soil profiles were studied in forest land of Kelardasht. Available P (Pav), total P (TP), organic P (OP), mineral P (MP) and 8 mineral P forms were determined in the genetic horizons and the correlation of these forms with each other and also the physicochemical soil parameters were investigated. The results showed that pedogenic process significantly affected distribution of different P forms. Fe-P and Al-P showed significant positive correlation with Pox, which could indicate simultaneous extraction of poorly crystalline Fe-Al oxide (by dissolution) or adsorbed/absorbed P by Al-Fe oxides (anion and ligand exchange). These poorly crystalline forms, octacalcium phosphate (Ca₈-P) and occluded P (Oc-P) correlate positively and significantly with clay content that enhance possibility of these components linkage with clay particles during different chemical reaction and co-migration of P and clay by lessivage and eluviation-illuviation process. Labile mineral P (LPi) and moderately labile mineral P (MLPi) did not show significant correlation with Pav, whereas apatite significantly and positively correlated with Pav. Removal of P from surface horizons can explain this result. Nevertheless, the highest correlation was between Pav, OP, and organic carbon (OC). According to this result, littering and humification may be considered as the most important processes that can influence P availability.

Keywords: Mineral phosphorus, Pedogenic process, Genetic horizons

¹. Corresponding author: Soil Science Department, Faculty of Agricultural Engineering and Technology, University College of Agriculture and Natural Resources, University of Tehran, Karaj, Iran.